- 12. Казанцев Ю.М., Лекарев А.Ф. Формирование управления по балансу необходимой и накопленной в системе энергии // Приборы и системы. Управление, контроль, диагностика. 2009. № 5. С. 17 20.
- 13. Aristov A.V., Nagorniy V.O., Gavrilov A.M. Voltage converter with the controlled energy balance for the electric drive with the pulsation motion mode // Control and Communications (SIBCON), 2015 International Siberian Conference on.

АВАРИЙНЫЙ ДВУХФАЗНЫЙ РЕЖИМ РАБОТЫ ТРЕХФАЗНОГО ВЕНТИЛЬНОГО ДВИГАТЕЛЯ

E.C. Больных, $\Gamma.И.$ Однокопылов Национальный исследовательский Томский политехнический университет, Россия, Томск

Существуют такие опасные объекты как: военные, ядерные, строительные, химические и многие другие. На таких предприятиях существует проблема, которая заключается в том, что необходимо обеспечить живучесть функционирования технических объектов, важной частью их является вентильный электропривод (ВД). Обеспечение отказоустойчивого управления ВД предполагает его работу в аварийном двухфазном режиме работы.

Представляет интерес рассмотрение алгоритмического восстановления работоспособности трехфазного ВД на основе микроконтроллерной системы управления. Для решения этой задачи необходимо обеспечить выбор и обоснование угла нагрузки в аварийном двухфазном режиме работы.

При разработке математической модели приняты следующие допущения: магнитная цепь двигателя принимается ненасыщенной, потери в стали и механические потери пренебрежимо малы, распределение МДС и индукции синусоидальное, высшие гармоники отсутствуют, воздушный зазор равномерен, механические связи двигателя и нагрузки абсолютно жесткие.

На рис. 1 приведена схема замещения синхронного двигателя при обрыве фазы "В", которой в установившемся режиме соответствуют уравнения в комплексной форме (1) на основе которых была разработана расчетная модель (2) в тригонометрической форме:

$$\dot{U_A} = \dot{I_A} \cdot r + j \cdot \dot{I_A} \cdot X_S + j \cdot \dot{I_A} \cdot X_A - j \cdot \dot{I_C} \cdot X_M - \dot{E_A};$$

$$\dot{U_C} = \dot{I_C} \cdot r + j \cdot \dot{I_C} \cdot X_S + j \cdot \dot{I_C} \cdot X_{A^-} \quad j \cdot \dot{I_A} \cdot X_M - \dot{E_C}.$$
(1)

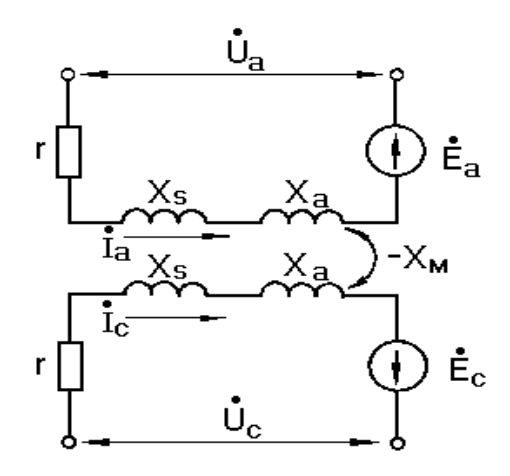


Рис. 1. Схема замещения синхронного двигателя при обрыве фазы "В"

трехфазном режиме ВД угол нагрузки задается углом электромагнитный момент имеет максимум при максимуме активной мощности для углов $\theta_A = \theta_B = \theta_C = \pi/2$. В двухфазном режиме ВД углы θ_A и θ_C различны, т.к. различны в общем случае вектора фазных напряжений \dot{U}_A и \dot{U}_C по амплитуде, а их фазовые сдвиги φ_A и φ_C относительно векторов тока могут иметь разные знаки. Поэтому построение системы управления ВД в двухфазном режиме с использованием углов θ_A и θ_C в качестве параметров, определяющих максимум момента нецелесообразно, так как это приведет к неоправданному усложнению \mathbf{q}_{TO} управления электроприводом. подтверждает скоростная характеристика ВД в аварийном двухфазном режиме (которая может быть через соотношения, вытекающие из векторной диаграммы, построенной по уравнениям (1)), имеющая вид:

$$n = -\frac{60\langle U_C \cdot \cos \theta_C - U_A \cdot \cos \theta_A + I \cdot r \cdot \left[\cos \psi_A - \cos(\pi/6 - \psi_A)\right]\rangle}{pI\langle (L_A + L_C) \cdot \left[\cos(\psi_A + \pi/6) + \sin \psi_A\right] - 2M \cdot \cos(\psi_A - \pi/6)\rangle}.$$

Выбор и оптимизация значения угла нагрузки в аварийном двухфазном режиме могут быть выполнены на основе статической модели расчета суммарных активной и реактивной мощностей ВД:

$$\begin{cases} U_{A} = I_{AM} \sin(\omega t + \pi + \psi_{A}) \, r + I_{AM} \sin\left(\omega t + \frac{3\pi}{2} + \psi_{A}\right) (L_{A} + L_{S}) \omega + \\ sign(\varphi_{C}) I_{CM} \sin\left(\omega t + \frac{5\pi}{6} + \psi_{A}\right) \omega L_{M} + E_{AM} \sin(\omega t + \pi); \\ U_{C} = I_{CM} \sin\left(\omega t + \frac{4\pi}{3} + \psi_{A}\right) r + I_{CM} \sin\left(\omega t + \frac{11\pi}{6} + \psi_{A}\right) (L_{A} + L_{S}) \omega + \\ sign(\varphi_{A}) I_{AM} \sin\left(\omega t + \frac{\pi}{2} + \psi_{A}\right) \omega L_{M} + \sin\left(\omega t + \frac{5\pi}{3}\right); \\ sign(\varphi) = 1, \text{если } \varphi \geq 0; \text{ } sign(\varphi) = -1, \text{ } \text{если } \varphi < 0 \\ P_{\Sigma} = \frac{1}{2} (U_{AM} I_{AM} \cos\varphi_{A} + U_{CM} I_{CM} \cos\varphi_{C}); \\ Q_{\Sigma} = \frac{1}{2} (I_{AM} I_{AM} \sin\varphi_{A} + I_{CM} I_{CM} \sin\varphi_{C}), \end{cases}$$

$$(2)$$

где I_{AM} , I_{CM} — амплитудные значения векторов фазных токов равной амплитуды (A), E_{AM} , E_{CM} — амплитудные значения векторов фазных ЭДС равной

амплитуды (B), P_{Σ} – суммарная активная мощность (BT), Q_{Σ} – суммарная реактивная мощность (Bap). В результате расчета получены следующие функциональные зависимости для СД ДСТ-0,18: $P_{\Sigma}(I,\psi)$, $P_{\Sigma}(n,\psi)$, $Q_{\Sigma}(I,\psi)$, $Q_{\Sigma}(n,\psi)$ представленные на рис. 2 а, б.

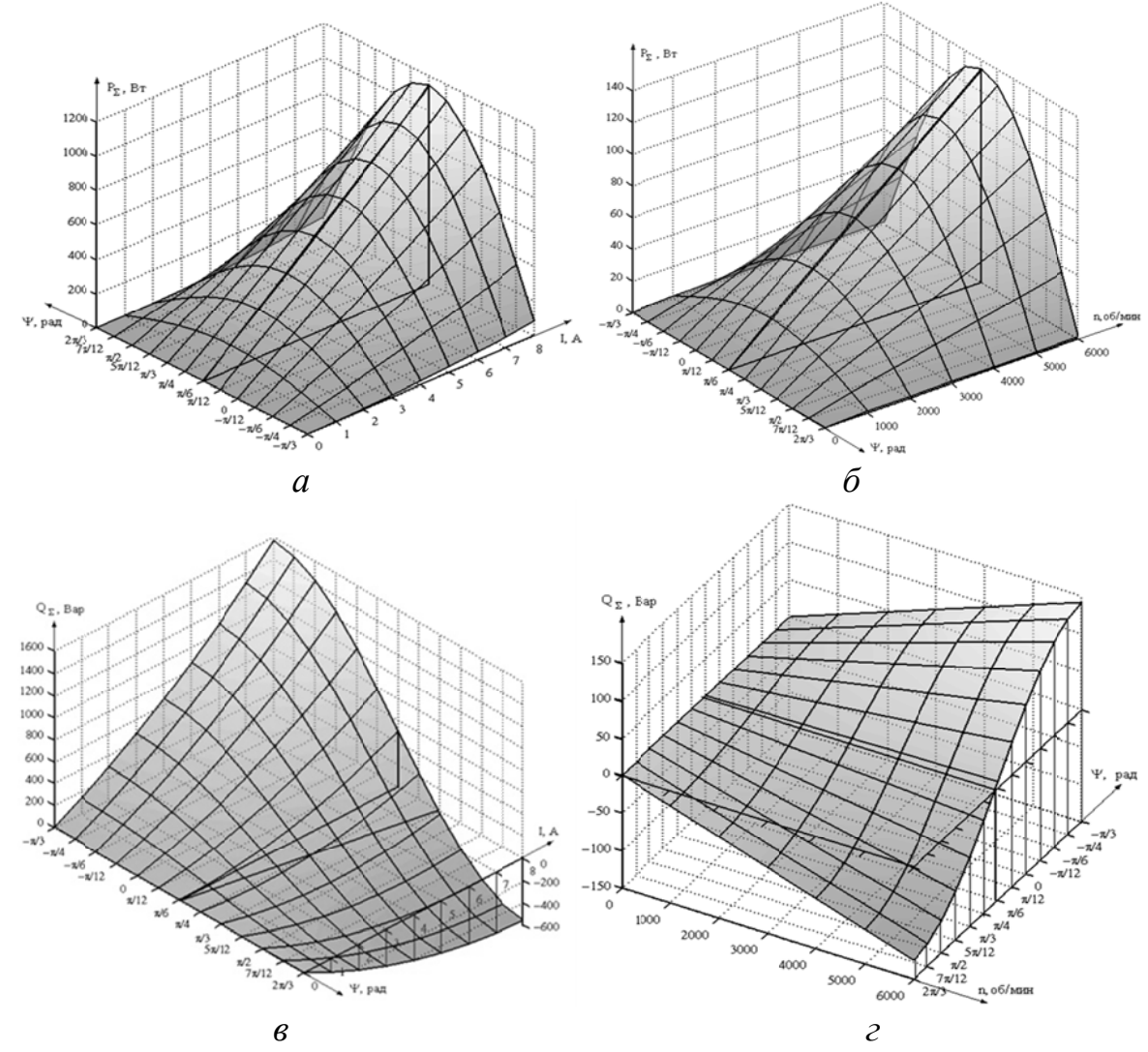


Рис. 2. Зависимости суммарных мощностей ВД в аварийном двухфазном режиме: а $-P_{\Sigma}(I,\psi)$,б - $P_{\Sigma}(n,\psi)$, в $-Q_{\Sigma}(I,\psi)$, $\Gamma-Q_{\Sigma}(n,\psi)$

Как видно из рис. 2 а, б угол ψ может быть сопоставлен с углом θ , определяющим максимум момента в трехфазном режиме, по форме зависимости и диапазону изменения угла π радиан.

Для определения допустимых значений величины и знака погрешности задания угла ψ можно рассмотреть зависимость суммарной реактивной мощности от частоты вращения, тока и угла ψ на рис. 2 в, г. Зависимость $Q_{\Sigma}(I,\psi)$ построена при условии $n=n_{max}=6000(\text{об/мин})$. Зависимость $Q_{\Sigma}(n,\psi)$ построена при: I=1 А. Для значений угла ψ в диапазоне $\pi/6$... $\pi/3$ радиан функция пересекает нулевую плоскость. Спад активной мощности для зависимостей $P_{\Sigma}(n,\psi)$, (I,ψ) при изменении значения угла ψ_A в диапазоне $\psi_A=\pi/6$... $\pi/4$ радиан не превышает 5%. В силу этого в аварийном двухфазном

режиме максимум активной при минимуме реактивной мощности ВД может быть определен в функции угла ψ_A в диапазоне значений угла $\psi_A = \pi/6...$ $\pi/4.$ Зона предпочтительных рабочих параметров лежит в диапазоне $\psi_A \pm \delta \psi_A$, где $\delta \psi_A$ – погрешность задания угла ψ_A . С целью минимизации реактивной мощности необходимо выполнение условия: $\delta \psi_A < 0,1 \psi_A$ и погрешность задания должна формироваться со знаком плюс.На рис. 3 приведены временные переходных процессов В аварийном двухфазном диаграммы трехфазного ВД выполненного по схеме с развязанными фазами [2, 3] и полученные на основе экспериментальной испытательной установки [4] с алгоритмами восстановления работоспособности вентильного двигателя [5, 6].

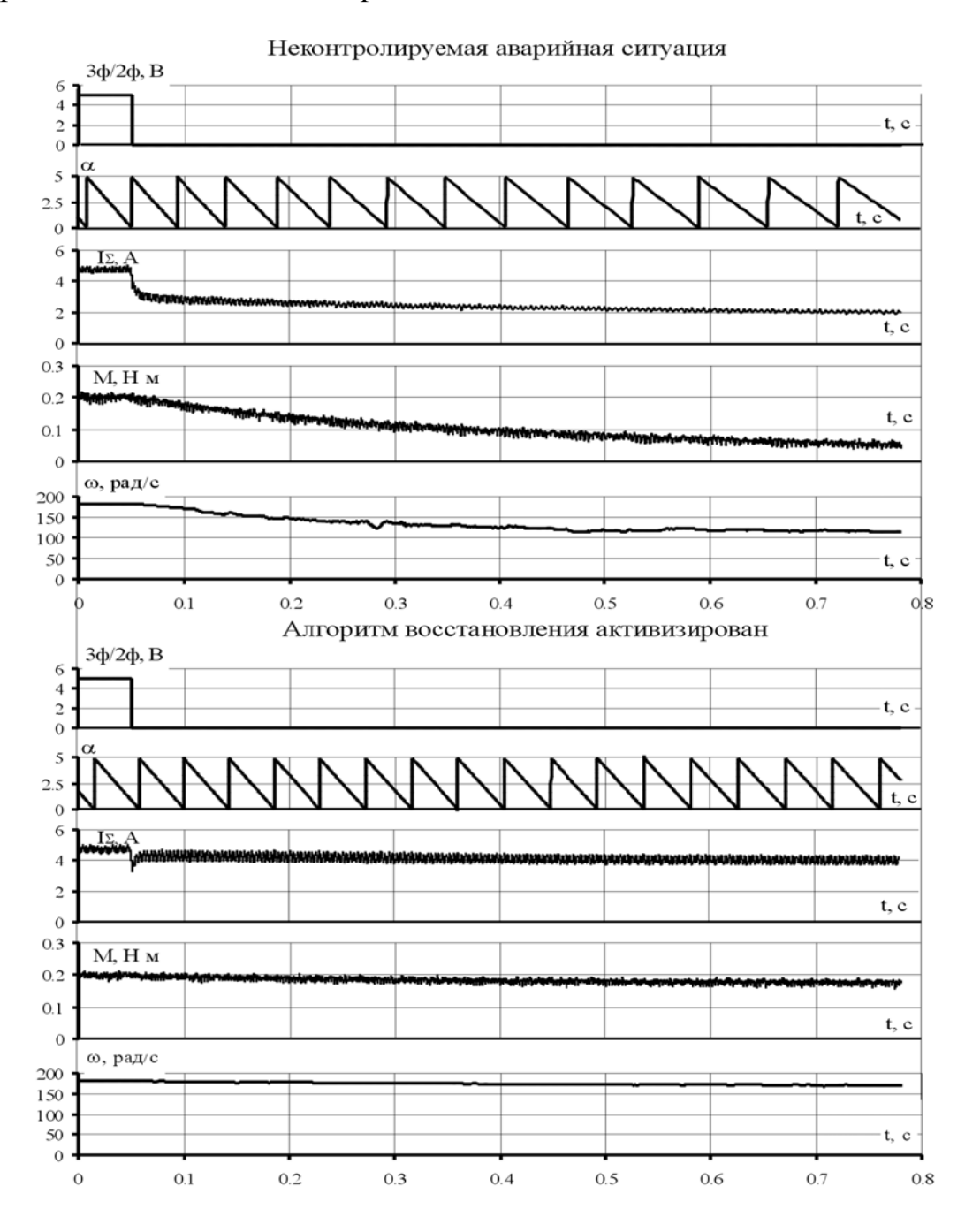


Рис. 3. Временные диаграммы переходных процессов в аварийном двухфазном режиме трехфазного ВД

На рис. З видно, что при неконтролируемой аварийной ситуации момент двигателя с номинальной нагрузкой стремится к нулю и двигатель останавливается, при активизации алгоритма восстановления, включающего угол нагрузки $\psi_A = \pi/6$, двигатель имеет кратковременный провал электромагнитного момента, что видно по диаграмме суммарного потребляемого тока I_{Σ} , двигатель продолжает работу с обеспечением свойства живучести при обрыве фазы.

Выводы

- 1. В двухфазном режиме работы трехфазного ВД использование углов между обратными векторами ЭДС и векторами напряжений фаз в качестве параметров, определяющих максимум момента, приводит к усложнению системы управления ввиду их различия и зависимости от режима работы.
- 2. Получено на математической модели и экспериментально установлено, что использование угла между обратными векторами Э.Д.С. и вектором тока фазы одной из двух фаз в двухфазном режиме ВД позволяет получить максимум активной мощности, максимум момента для значений углов $\psi = \pi/6$, при этом активные мощности фаз равны, а максимум активной мощности не зависит от рабочей частоты и величины фазного тока.
- 3. Суммарная реактивная мощность в двухфазном режиме трехфазного ВД может принимать как положительные, так и отрицательные значения в функциях рабочей частоты, тока. При $\psi = \pi/6$ суммарная реактивная мощность ВД минимальна.

СПИСОК ЛИТЕРАТУРЫ

- 1. Овчинников И.Е. Теория вентильных электрических двигателей. Л.: Наука, 1985.-164 с.
- 2. Патент на ПМ №59905 (RU), H02K 29/06, H02P 6/00. Вентильный электропривод со свойством живучести/ Г.И. Однокопылов, К.В.Образцов. №2006128881; Заявл.08.08.2006; Опубл.27.12.2006 г. Бюл.№36.
- 3. Патент РФ на изобретение № 2447561(RU), H02P 7/09. Вентильный электропривод с обеспечением свойства живучести/ Г.И. Однокопылов, Ю.Н.Дементьев, И.Г. Однокопылов, К.В.Образцов №2011112102; Заявл. 30.03.2011; Опубл10.04.2012 Бюл. № 10.
- 4. Патент РФ на ПМ № 136184(RU), G01R 31/02. Установка для исследований аварийных режимов работы вентильного двигателя/ Г.И. Однокопылов, И.А.Розаев, А.Д.Брагин. -№2013138092; Заявл.14.08.2013; Опубл.27.12.2013 Бюл. № 36.
- 5. Патент на изобретение №2311721 (RU), H02P 6/12, H02P 6/16, H02K 29/06. Способ обеспечения живучести трёхфазного вентильного двигателя /Г.И. Однокопылов, К.В. Образцов, № 2006128538; заявл. 04.08.2006 г.; опубл. 27.11.2007г. Бюл. №33.
- 6. Патент РФ на изобретение № 2435291, Н02Р 6/12, Н02Р 6/16. Способ обеспечения живучести трёхфазного вентильного двигателя на основе

явнополюсной синхронной машины /Г.И. Однокопылов, К.В. Образцов, — № 2010135857; заявлено 26.08.2010 г.; опубл. 27.11.2011 г. Бюл. №33.

МАТЕМАТИЧЕСКАЯ МОДЕЛЬ ТРЕХФАЗНОГО ВЕНТИЛЬНО-ИНДУКТОРНОГО ДВИГАТЕЛЯ В НЕПОЛНОФАЗНОМ РЕЖИМЕ РАБОТЫ

Л.Я. Насибова, И.А. Розаев, Г.И. Однокопылов Национальный исследовательский Томский политехнический университет, Россия, Томск

Современные тенденции развития полупроводниковой техники дали толчок в развитии давно известных систем электроприводов в новых сферах применения. Одним электроприводов является ИЗ таких индукторный электропривод. На сегодняшний день он становится все более популярен благодаря простоте, высоких энергетическим показателям и большому диапазону регулирования. Такой электропривод особенностям конструкции и простоте реализации управления может найти многих сферах промышленности, таких как военная, применение во медицинская, космическая и другие, где предъявляются высокие требования по отказоустойчивости рабочего механизма.

Целью настоящей статьи является исследование вентильно-индукторного электропривода и формирование математической модели вентильно-индукторного электродвигателя для исследования его в неполнофазном режиме работы. В основу математической модели вентильно-индукторного двигателя положены уравнения электрических контуров, составленные для каждой из фаз. Приняты допущения, что магнитные системы каждой фазы идентичны друг другу, гистерезис и вихревые токи в магнитопроводе не учитываются, а активные сопротивления фаз равны [1, 2].

На рис. 1 приведена схема замещения фазы.

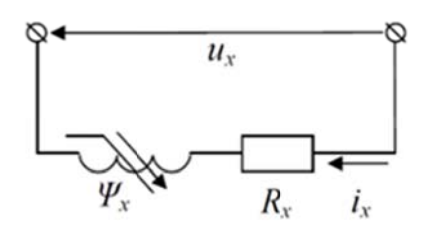


Рис. 1. Схема замещения фазы ВИД:

 U_{x} – напряжение; i_{x} – ток; R_{x} – омическое сопротивление; Ψ_{x} – потокосцепление.

В этом случае каждая фаза ВИД описывается уравнением электромагнитного равновесия, согласно второму закону Кирхгофа. Уравнение электрического равновесия двигателя: